

Fig. 16-II Modelo DHI/MIKE21-BW
 Batimetria – Solução 1

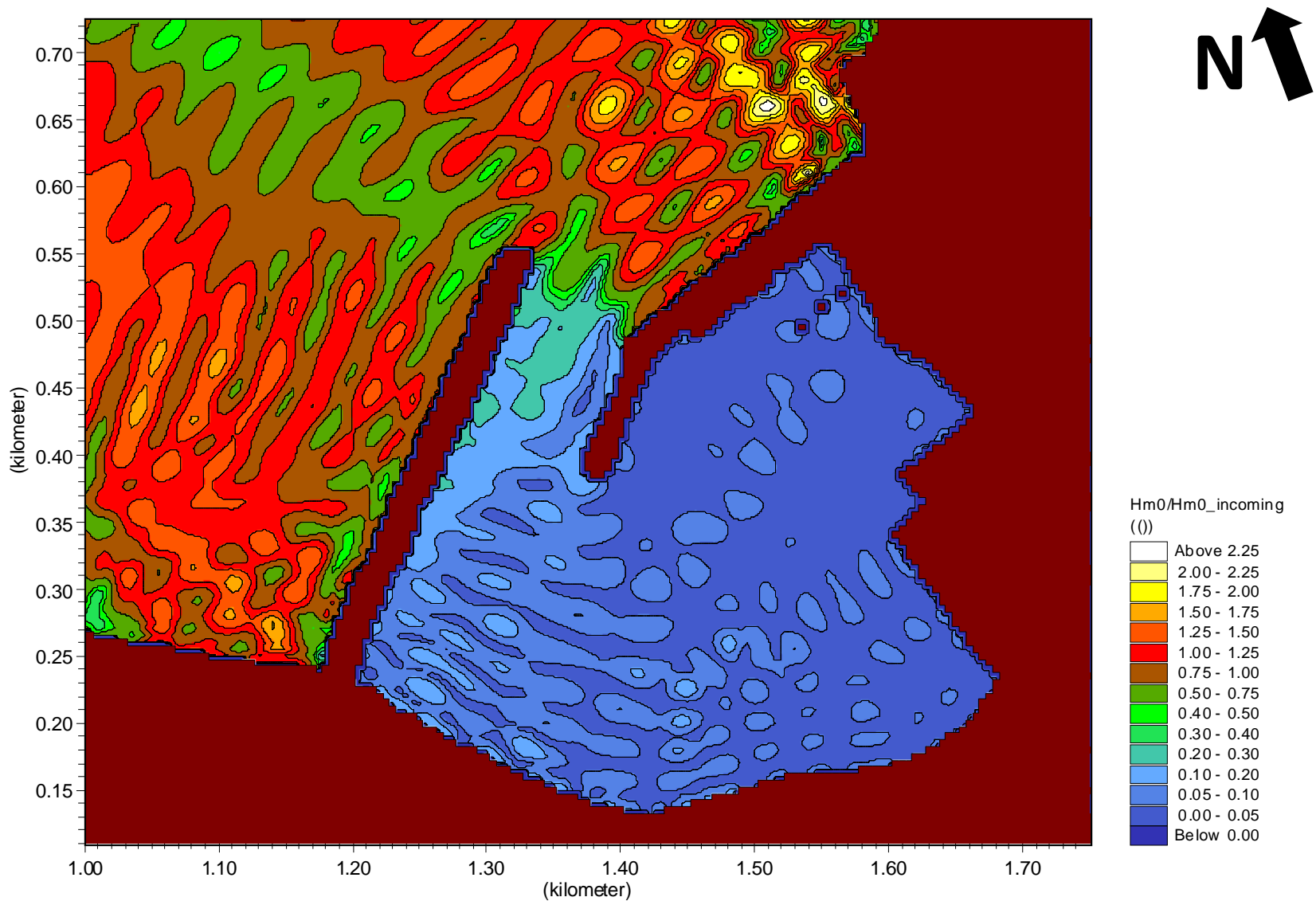


Fig. 17-II Modelo DHI/MIKE21-BW

Índice de Agitação no Porto de Pesca de Rabo de Peixe – Solução 1

Condição de fronteira $H=1m$; $T=8s$, Rumo= $N30W$; $H_{maré}=1m$, Malha $5 \times 5m$

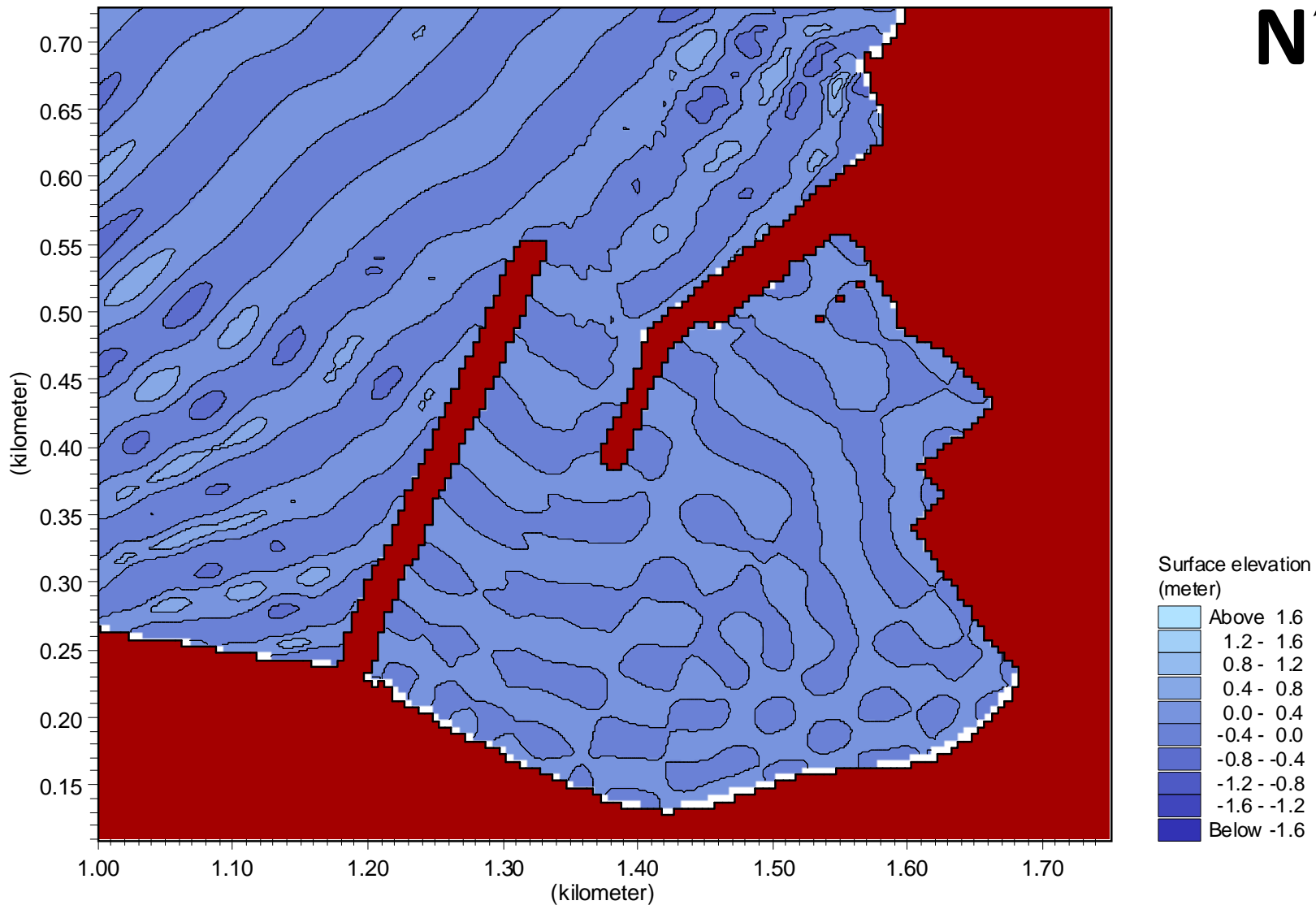


Fig. 18-II Modelo DHI/MIKE21-BW

Sobreelevação da Superfície Livre no Porto de Pesca de Rabo de Peixe – Solução 1

Condição de fronteira $H=1\text{m}$; $T=8\text{s}$, Rumo= $N30W$; $H_{\text{maré}}=1\text{m}$, Malha $5\text{m} \times 5\text{m}$

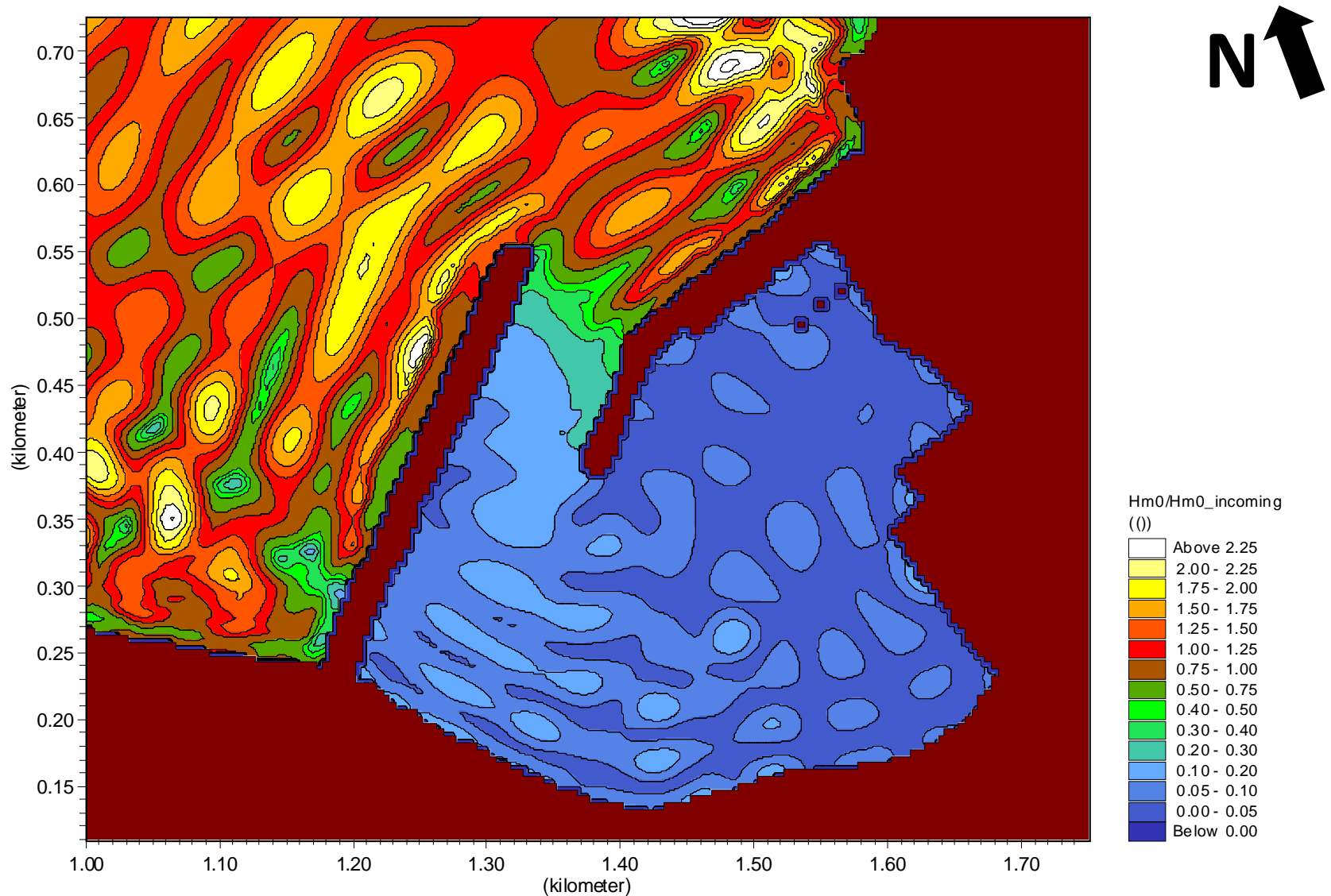


Fig. 19-II Modelo DHI/MIKE21-BW

Índice de Agitação no Porto de Pesca de Rabo de Peixe – Solução 1

Condição de fronteira $H=1m$; $T=12s$, Rumo= $N30W$; $H_{maré}=1m$, Malha $5 \times 5m$

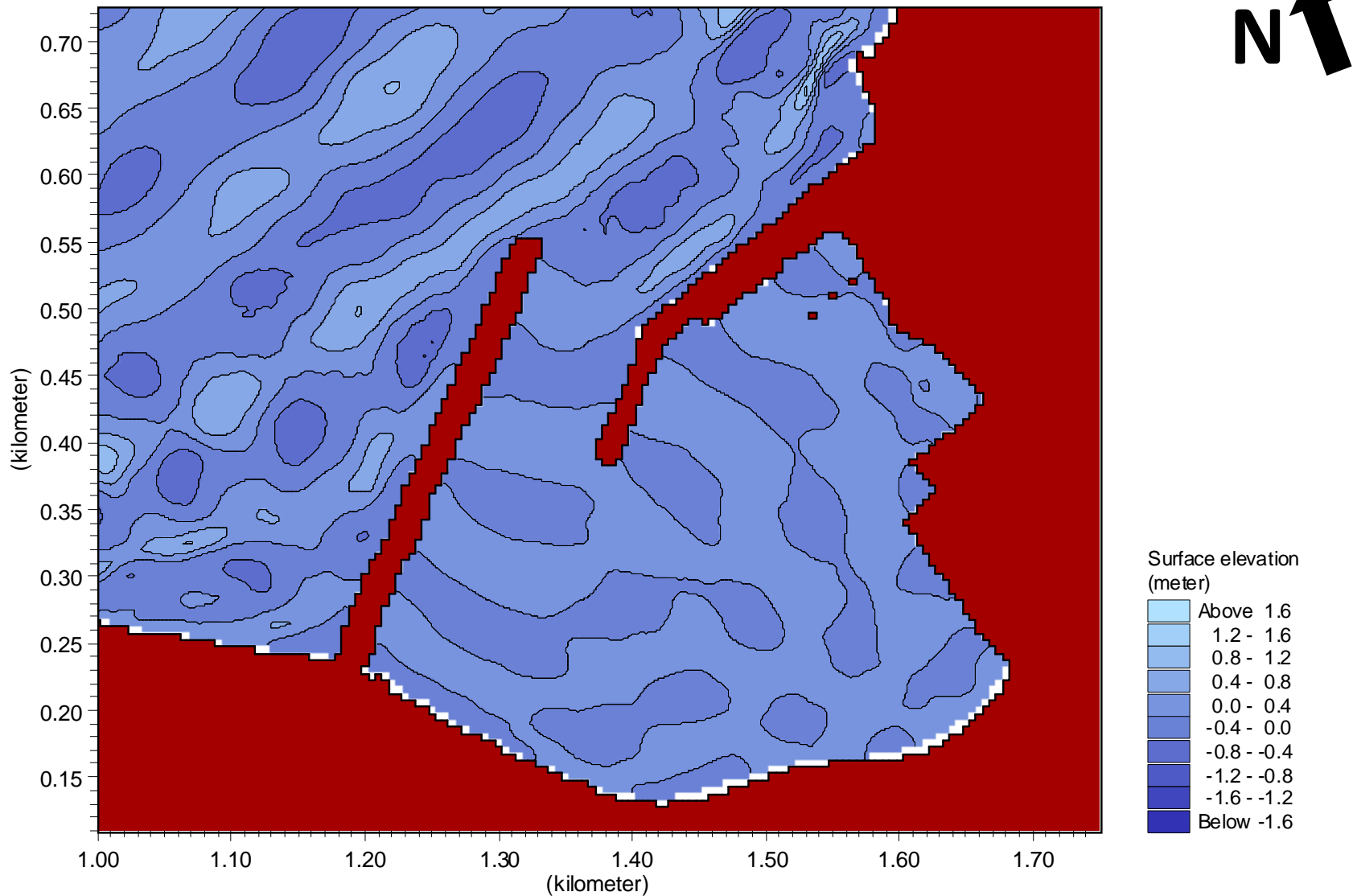


Fig. 20-II Modelo DHI/MIKE21-BW

Sobreelevação da Superfície Livre no Porto de Pesca de Rabo de Peixe – Solução 1

Condição de fronteira $H=1\text{m}$; $T=12\text{s}$, Rumo= $N30W$; $H_{\text{maré}}=1\text{m}$, Malha $5 \times 5\text{m}$

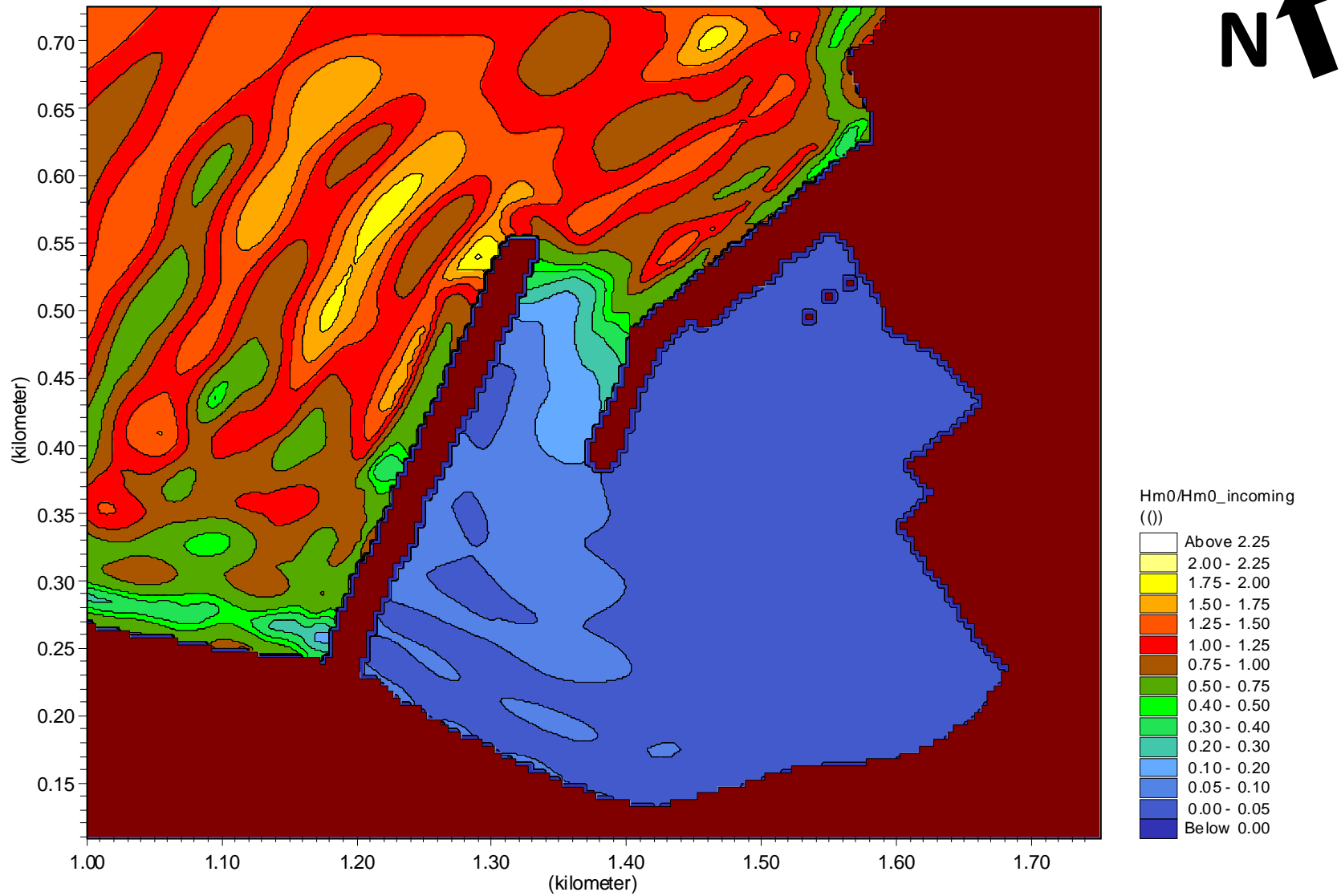


Fig. 21-II Modelo DHI/MIKE21-BW com rebentação
 Índice de Agitação no Porto de Pesca de Rabo de Peixe – Solução 1
 Condição de fronteira H=3m; T=14s, Rumo=N30W; Hmaré=1m, Malha 5x5m

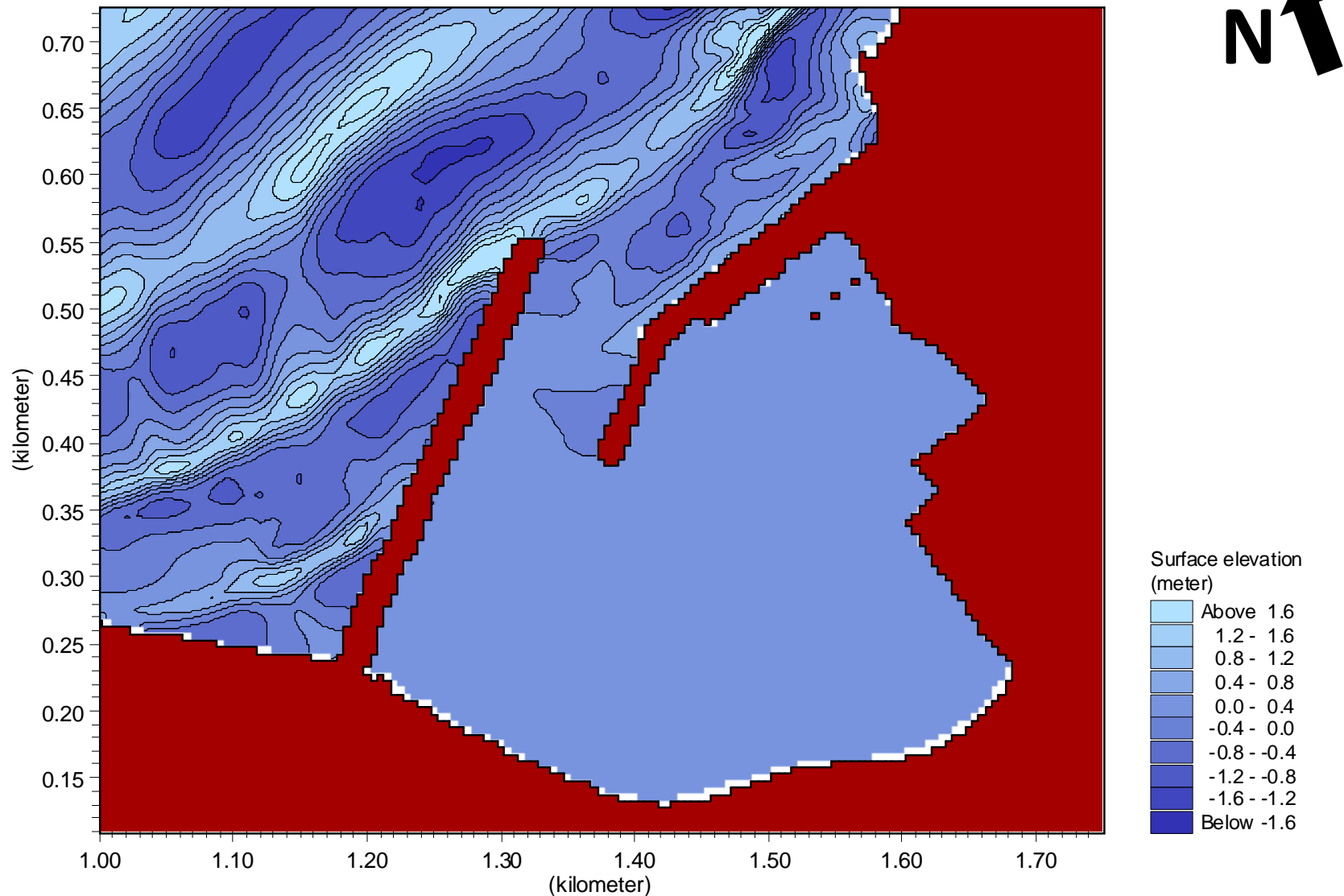


Fig. 22-II Modelo DHI/MIKE21-BW com rebentação
 Sobreelevação da Superfície Livre no Porto de Pesca de Rabo de Peixe – Solução 1
 Condição de fronteira $H=3\text{m}$; $T=14\text{s}$, Rumo= $N30W$; $H_{\text{maré}}=1\text{m}$, Malha $5 \times 5\text{m}$

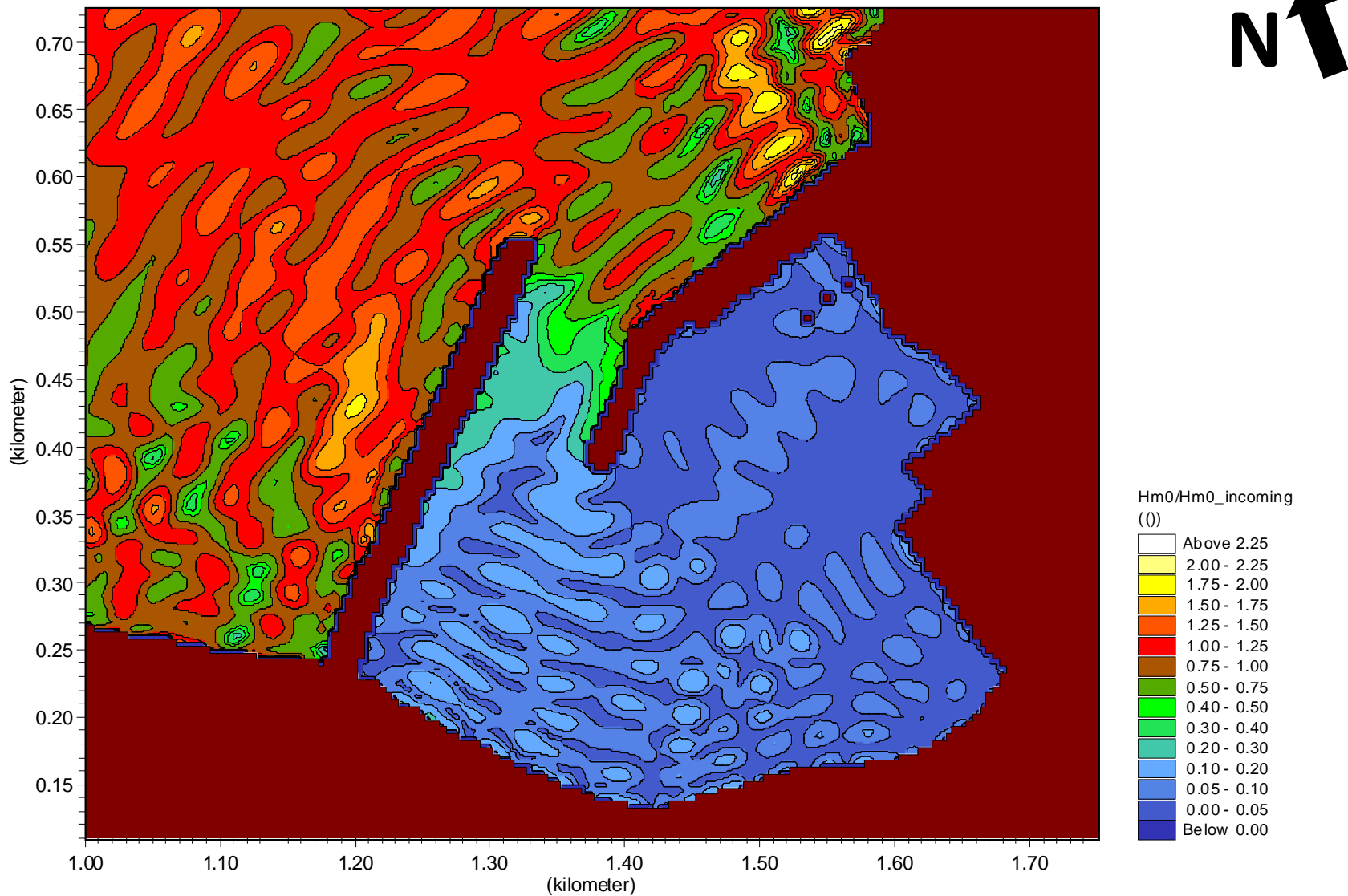


Fig. 23-II Modelo DHI/MIKE21-BW

Índice de Agitação no Porto de Pesca de Rabo de Peixe – Solução 1

Condição de fronteira H=1m; T=8s, Rumo=N; Hmaré=1m, Malha 5x5m

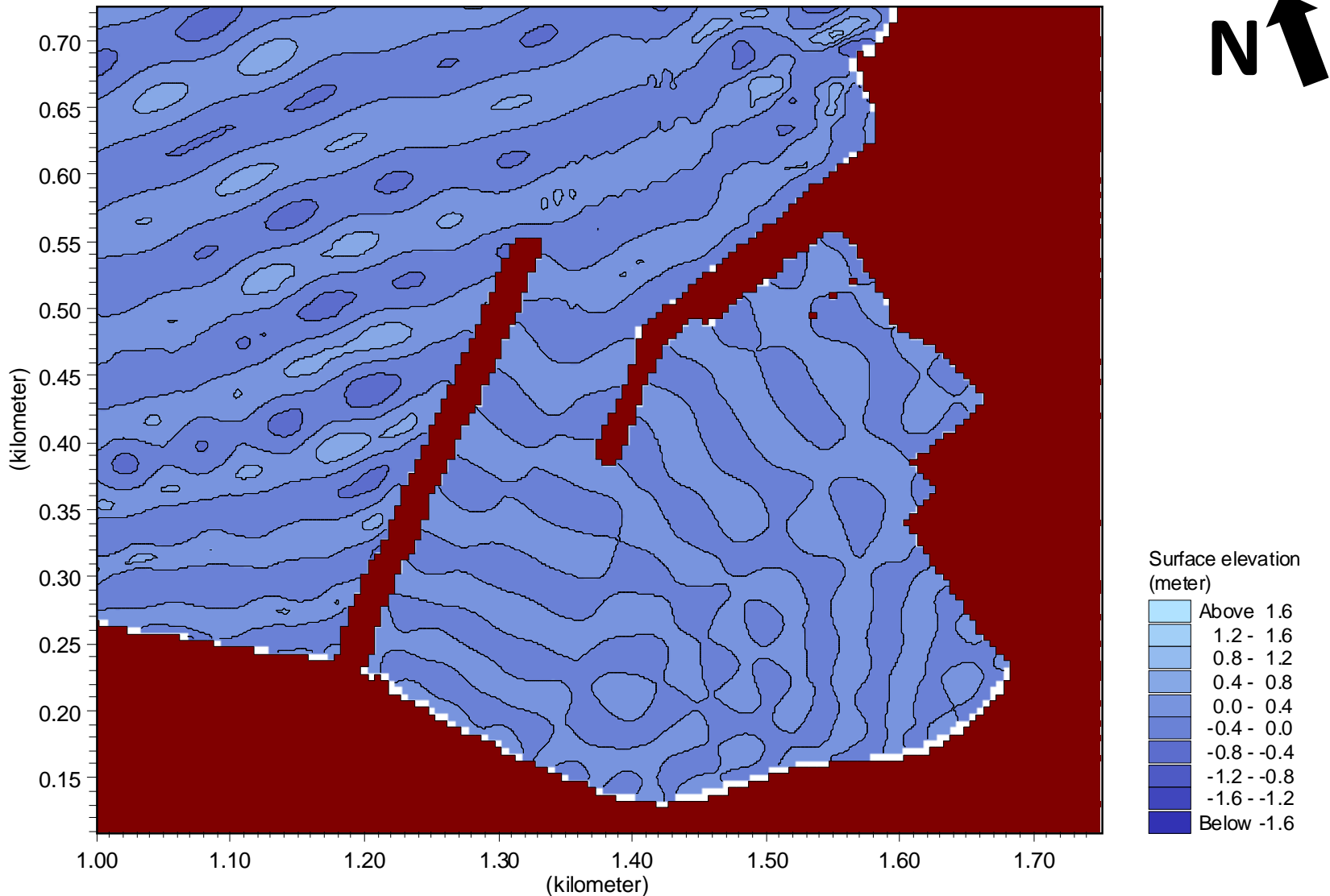


Fig. 24-II Modelo DHI/MIKE21-BW

Sobreelevação da Superfície Livre no Porto de Pesca de Rabo de Peixe – Solução 1

Condição de fronteira $H=1\text{m}$; $T=8\text{s}$, Rumo=N; $H_{\text{maré}}=1\text{m}$, Malha $5\text{x}5\text{m}$

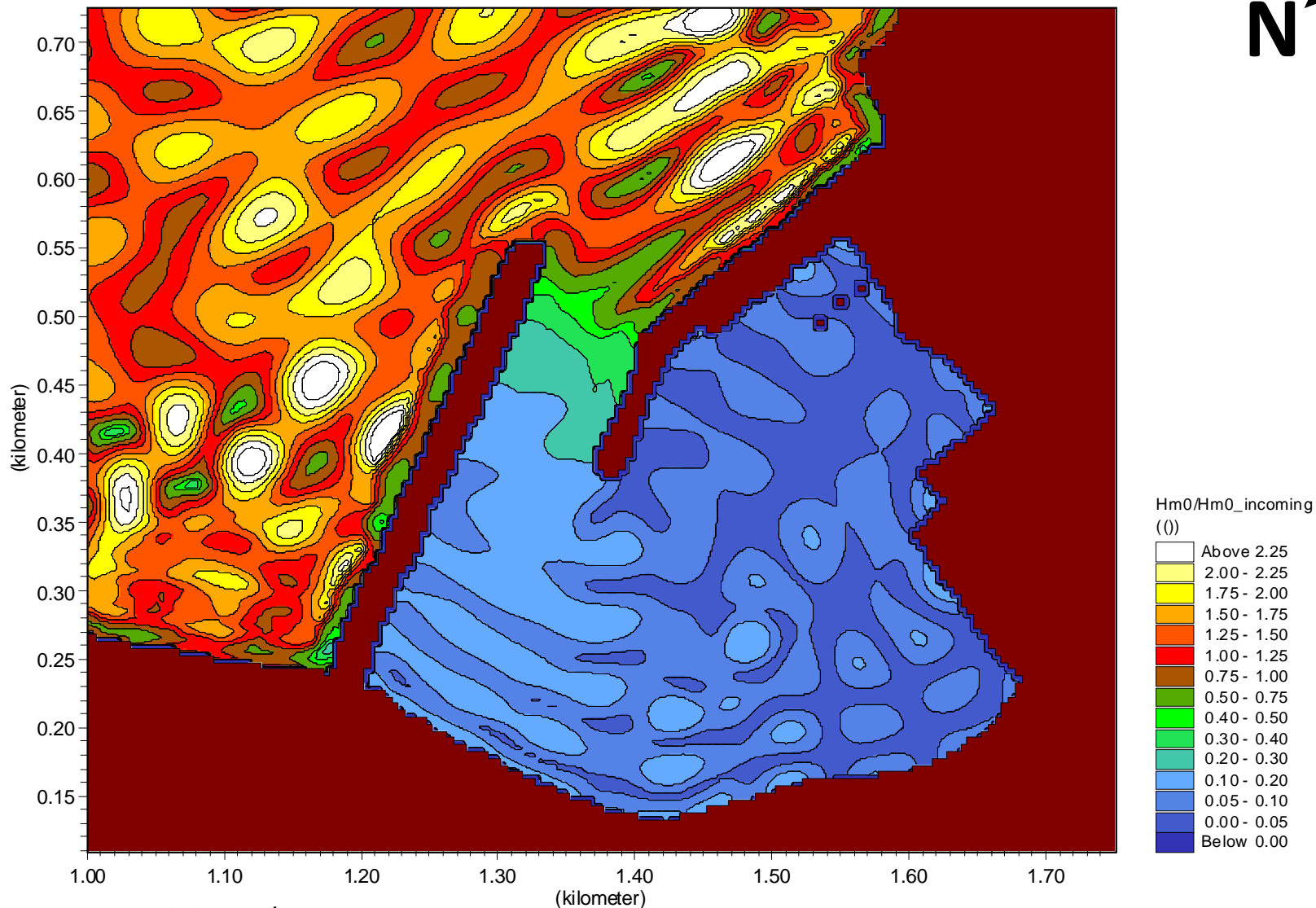


Fig. 25-II Modelo DHI/MIKE21-BW

Índice de Agitação no Porto de Pesca de Rabo de Peixe – Solução 1

Condição de fronteira $H=1\text{m}$; $T=12\text{s}$, Rumo=N; $H_{\text{maré}}=1\text{m}$, Malha 5x5m

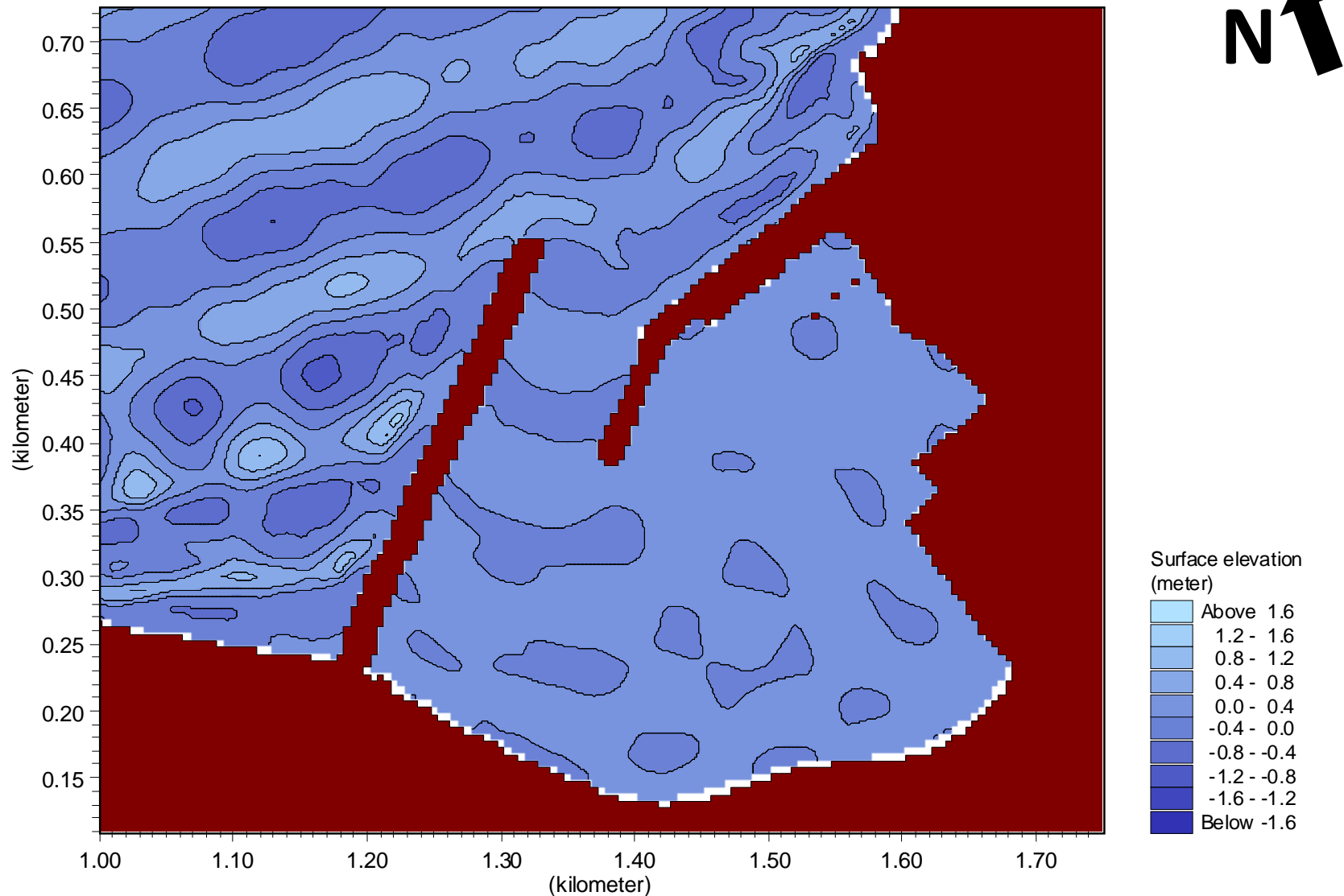


Fig. 26-II Modelo DHI/MIKE21-BW

Sobreelevação da Superfície Livre no Porto de Pesca de Rabo de Peixe – Solução 1

Condição de fronteira $H=1\text{m}$; $T=12\text{s}$, Rumo=N; $H_{\text{maré}}=1\text{m}$, Malha 5x5m

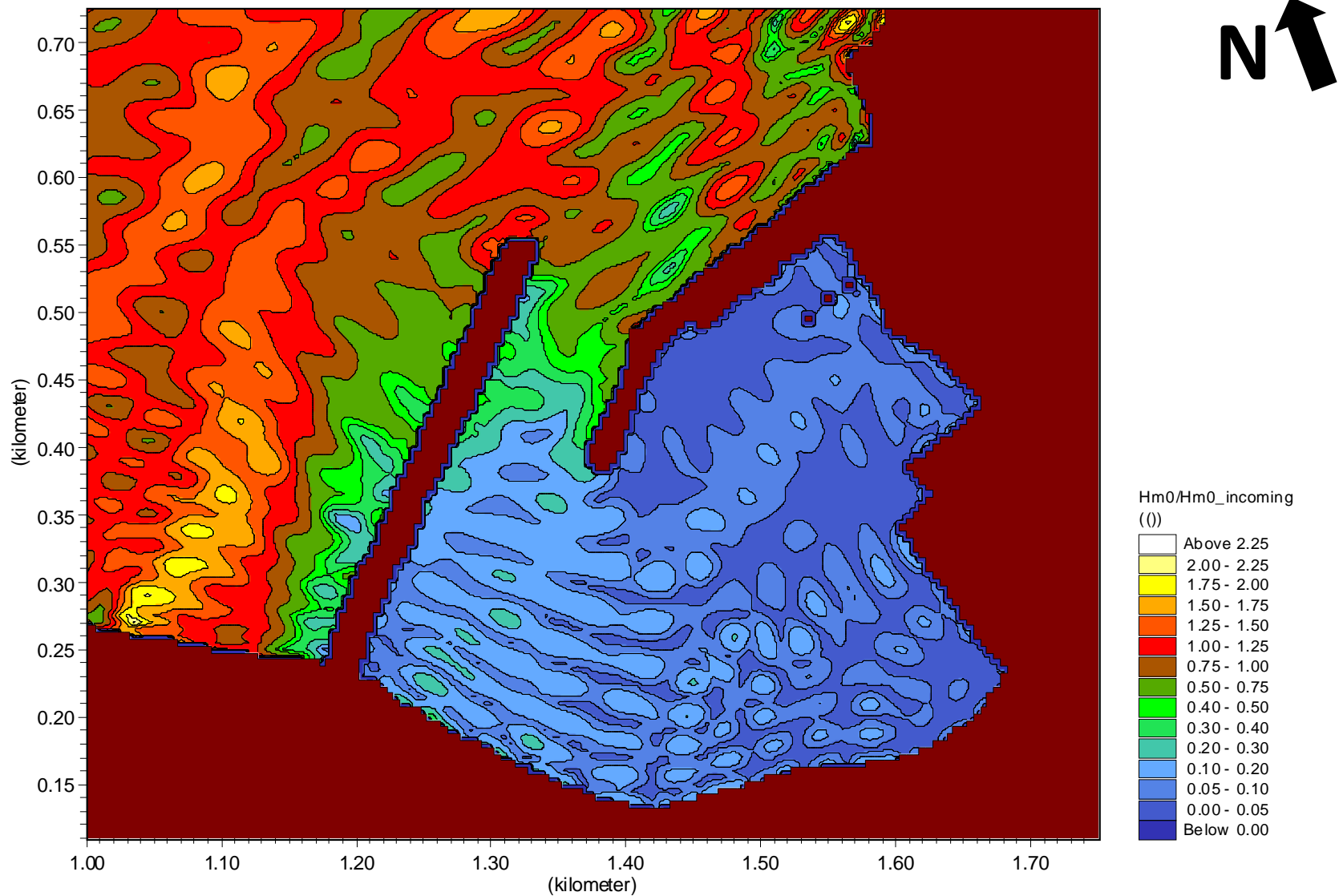


Fig. 27-II Modelo DHI/MIKE21-BW

Índice de Agitação no Porto de Pesca de Rabo de Peixe – Solução 1

Condição de fronteira H=1m; T=8s, Rumo=N30E; Hmaré=1m, Malha 5x5m

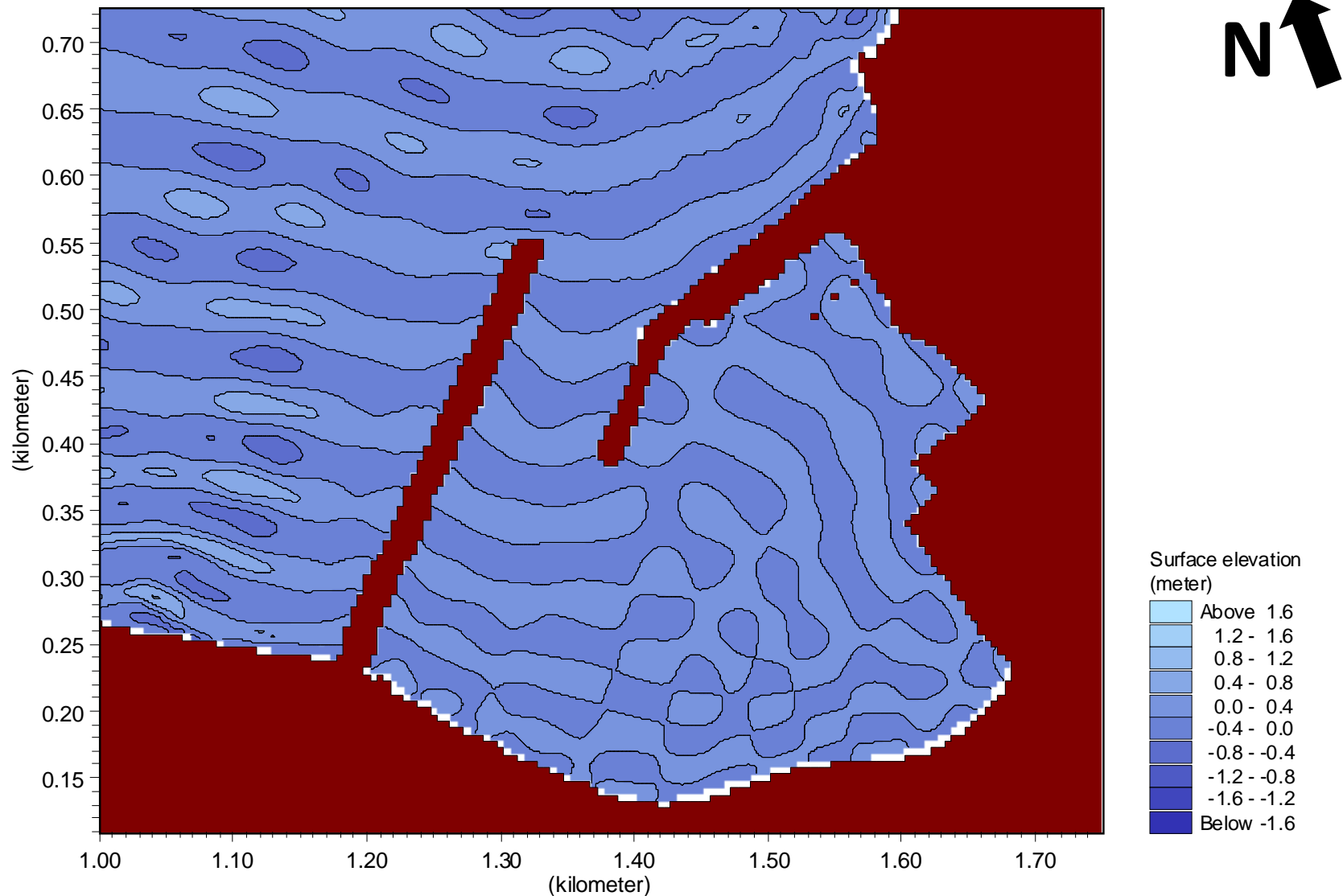


Fig. 28-II Modelo DHI/MIKE21-BW

Sobreelevação da Superfície Livre no Porto de Pesca de Rabo de Peixe – Solução 1

Condição de fronteira $H=1\text{m}$; $T=8\text{s}$, Rumo= $N30E$; $H_{\text{maré}}=1\text{m}$, Malha $5\text{x}5\text{m}$

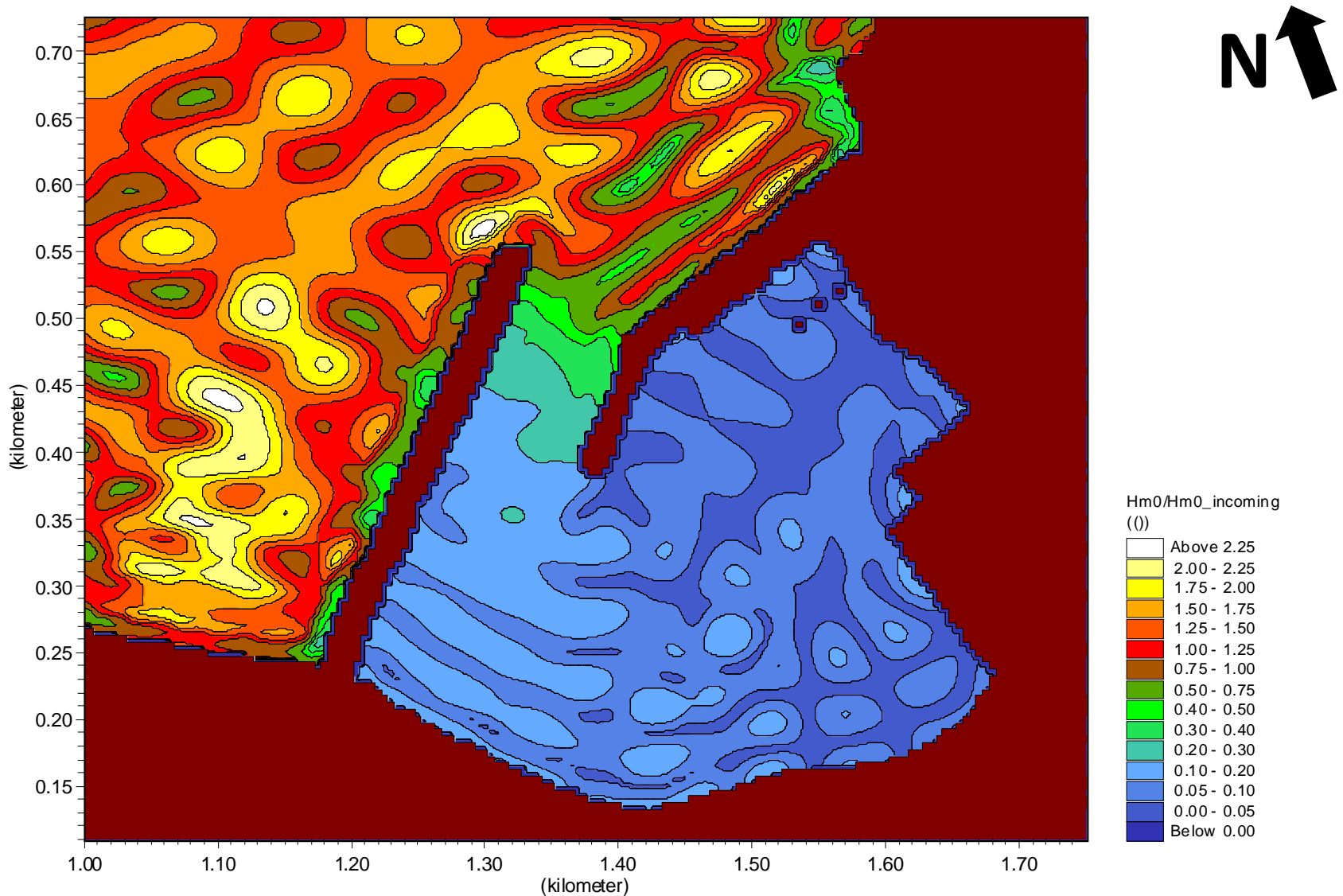


Fig. 29-II Modelo DHI/MIKE21-BW

Índice de Agitação no Porto de Pesca de Rabo de Peixe – Solução 1

Condição de fronteira H=1m; T=12s, Rumo=N30E; Hmaré=1m, Malha 5x5m

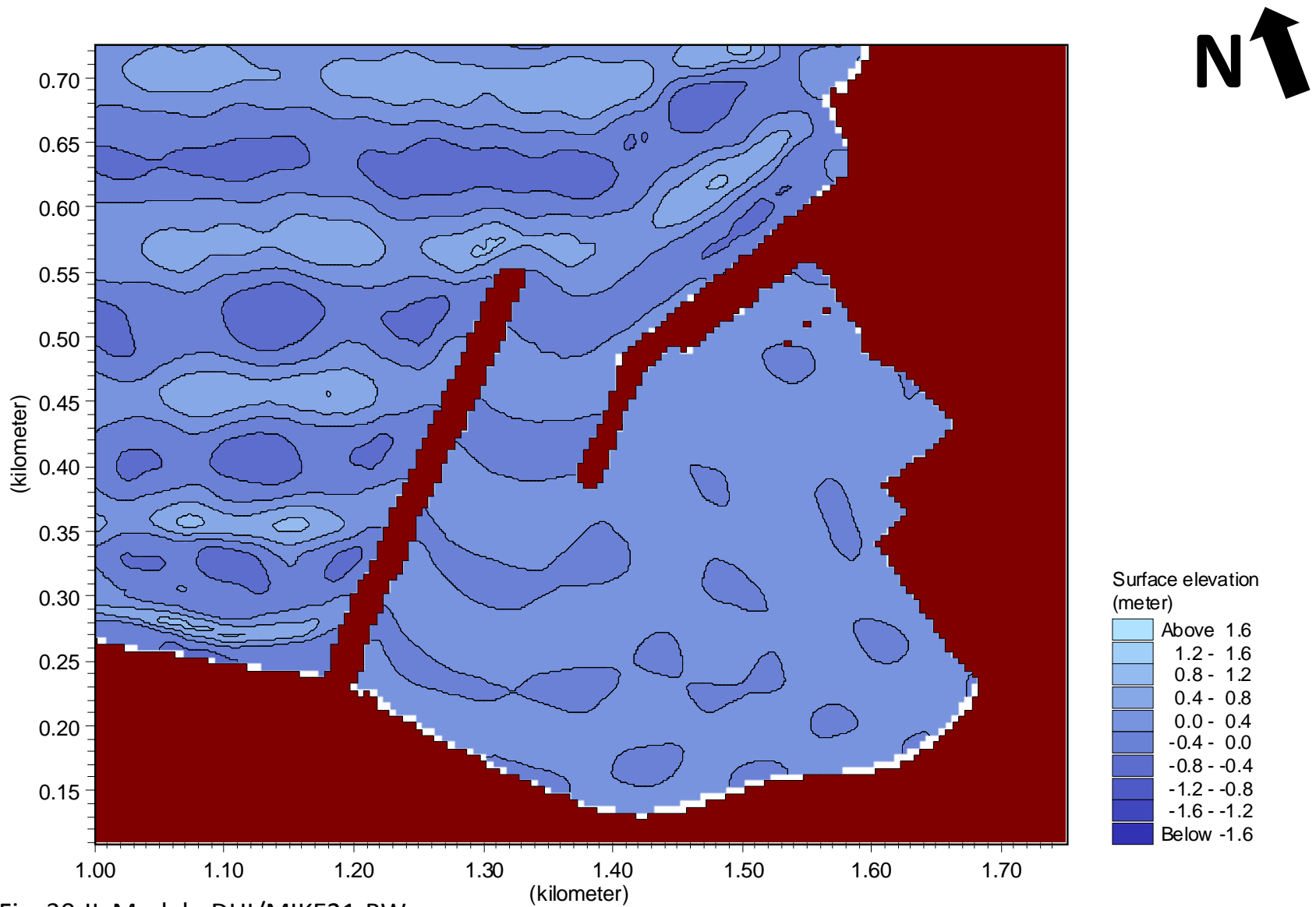


Fig. 30-II Modelo DHI/MIKE21-BW

Sobreelevação da Superfície Livre no Porto de Pesca de Rabo de Peixe – Solução 1

Condição de fronteira H=1m; T=12s, Rumo=N30E; Hmaré=1m, Malha 5x5m